

## SİMAV-EMET-TAVŞANLI YÖRELERİNİN HİDROTERMAL ALTERASYON ZONLARI

*Hydrothermal Alteration Zones of Simav-Emet-Tavşanlı Regions*

MEHMET ŞENER  
A.İHSAN GEVREK

M.T.A. Genel Müdürlüğü Enerji Hammaddeleri Etüd ve Arama Dairesi, Ankara  
M.T.A. Enerji Müdürlüğü Enerji Hammaddeleri Etüd ve Arama Dairesi, Ankara

**ÖZ:** Bu çalışmada Kütahya il sınırları içerisinde yer alan hidrotermal alterasyon zonları, X-işınları teknigi ve jeokimyasal analiz yöntemleri ile incelenmiştir.

Çalışma sahasında klorit-illit, montmorillonit, kalk aliminium silikat ve silisifiye zonlar saptanmıştır. Zonların dağılımına göre, çalışma sahasında yer alan Simav yöresinde; Abide jeotermal sahasında  $180-230^{\circ}\text{C}$ , Naşa-Eynal jeotermal sahasında  $100-160^{\circ}\text{C}$ , Tavşanlı yöresinde  $100-160^{\circ}\text{C}$ , Emet yöresinde  $150-200^{\circ}\text{C}$  ve Kütahya-Ilica yöresinde ise  $100-160^{\circ}\text{C}$  sıcaklığı sahip jeotermal akışkanın varlığından söz edilebilir.

**ABSTRACT:** Hydrothermal alteration zones have been investigated by X-ray diffraction techniques and geochemical methods in this study at Kütahya region.

There are Chlorite-İllite, Montmorillonite, Calc Aliminium silicate and silification zones in investigated area. As a result of these studies; Abide geothermal field has  $180-230^{\circ}\text{C}$ , Naşa-Eynal geothermal fields have  $100-160^{\circ}\text{C}$  in Simav region, Tavşanlı region has  $100-160^{\circ}\text{C}$ , Emet region has  $150-200^{\circ}\text{C}$ , Kütahya-Ilica field has  $100-160^{\circ}\text{C}$  temperature geothermal fluid has been found.

### GİRİŞ

Jeotermal akışkan aramalarında hidrotermal alterasyon önemli bir yer tutmaktadır.

Bu noktadan hareketle, bu amaçla MTA Genel Müdürlüğü tarafından Kütahya-Simav Jeotermal sahasında yapılmakta olan çalışmalara paralel olarak adı geçen yörelerdeki hidrotermal alterasyon zonlarının dağılımı, oluşumu ve jeotermal akışkanla olan ilişkisinin saptanması amaç edinilmiştir.

Çalışma alanı Ege Bölgesinde, Kütahya il sınırları içerisinde Simav, Emet ve Tavşanlı ilçelerindeki Abide, Eynal, Naşa (Simav), Göbel, Başköy (Tavşanlı), Yoncaağaç, Dereli (Emet) ve İlica (Kütahya) yörelerini kapsamaktadır. (Şekil 1).

Çalışma için gerekli olan mineralojik incelemeler X-işınları kırımı yöntemi, hidrotermal alterasyonun kayaç kimyasındaki etkilerini araştırmak için kimyasal analiz yöntemleri kullanılmıştır.

### GENEL JEOLOJİ

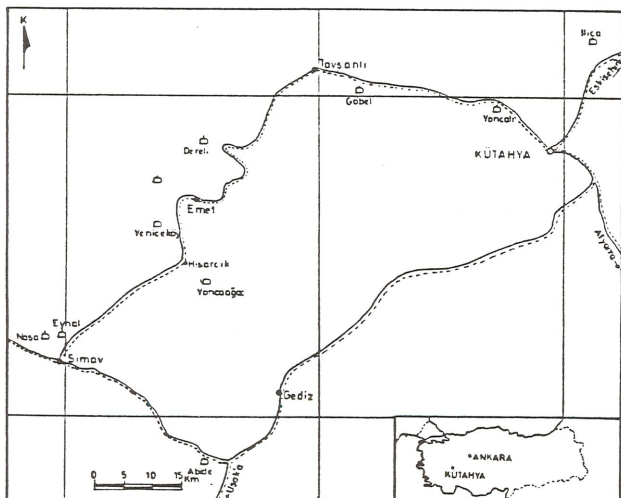
Çalışmanın özelliği nedeni ile, bu bölümde çalışma sahasının stratigrafik ve tektonik özellikleri özet olarak verilmiştir.

Menderes Masif'inin metamorfik kayaçlarından oluşan metamorfik temel çalışma sahasının değişik kesimle-

rinde gözlenmektedir. Antekambriyen yaşlı bu temel izerinde, Permokarbonifer yaşlı sığ denizel, karbonat fasyesi ile belirgin Paleozoyik genellikle Alt Triyas yaşlı az metamorfik litoloji içerisinde olistostromlar şeklinde izlenir. Alt Jura epikontinental klasik fasiyestedir. Üst Jura-Alt Kretase genellikle karbonat fasyesindeki kayaçlarla temsil edilir. Üst Kretase'de bölgeye yerleşen Ofiyolitli Melanj genellikle güneye devriktir. Alt Tersiyer granit-granodioritik intrüzyonlarla belirlendir. Bu intrüzyonlar Mesozoyik yaşlı çevre kayaçları kontakt metamorfizmaya uğratmışlardır. Miyosen serileri klastik ve genellikle volkanosedimenter olup, asit ve kalkalkalen bileşimlidir. Kaba klastik ve gölsel kireçtaşları ile belirgin Pliyosen yaşlı çökellerin doğrultuları gelişen graben doğrultularına paraleldir. Kaba klastik, asılı teras ve travertenlerle bazaltik lav akıntılarından oluşan Kuvaterner, Pliyosen havza doğrultularını korumuştur. (Bingöl, 1975).

Bu genel stratigrafik özellikler baz alınarak, çalışma sahasına ait stratigrafik korelasyon çizelgesi Şekil 2'de verilmiştir.

Çalışma sahasının genel tektonik yapısı N-S ve NW ve SE yönlü kuvvetlerle oluşmuştur (Bingil, 1977). Bu na göre çalışma sahasındaki hidrotermal alterasyona neden olan jeotermal akışkan genellikle E-W uzanımlı ana tektonik hatlara diyagonal gelişen çatlak ve tali faylardan gelmektedir.



Şekil 1 : Bulduru haritası,  
Figure 1 : Location map.

## HİDROTERMAL ALTERASYON

Ayrıntıları Gevrek ve Şener (1985) ile Gevrek, Şener ve Ercan (1985) de verilen hidrotermal alterasyon minerallerinden gidilerek ayrıtlanan hidrotermal alterasyon zonları:

1. Montmorillonit-Kaolinit Zonu (100-160°C)
2. Geçiş Zonu (Montmorillonit-İllit Zonu) (160-180°C)
3. Klorit-İllit Zonu (180-230°C) (180-230°C)
4. Kalk Aliminyum Silikat Zonu (230-330°C)
5. Biyotit Zonu (330°C üstü) olarak bilinmektedir.

Çalışma sahasında yer alan hidrotermal alterasyon minerallerinin kararlılığına göre; Montmorillonit-Kaolinit Zonu, Klorit-İllit Zonu, Kalk Aliminyum Silikat ve Silisifiye zonlar saptanmıştır.

Adı geçen bu zonların çalışma sahasındaki dağılımları aşağıda sunulmuştur.

### Simav Yöresi Hidrotermal Alterasyon Zonları

**Abide İlçesi ve Yöresinin Hidrotermal Alterasyon Zonları:** Bu yörede aktif hidrotermal alterasyon gözlenmektedir. Şekil 3'de görüldüğü gibi yörede Klorit-İllit ve Silisifiye zonlar saptanmıştır.

**Silosifiye Zon:** Özellikle Abide ilçesinin batısında gözlenen bu zon, kayacın bünyesinde bulunan 260/90 konumlu çatlaklı gelen hidrotermal solüsyonların kireçtaşının bünyesindeki mikrokonglomeratik seviyeleri ve ofiyolit yerlesimi esnasındaki ezik zonları etkilemesi sonucu oluşmuştur. Bu zonlardaki örneklerde yapılan jeokimyasal analizlere göre kayaçlardaki  $\text{SiO}_2$  oranı % 1.66 ile % 89.50 arasında bulunmaktadır.

**Klorit-İllit Zonu:** Hidrotermal solüsyonların serpantinit ve kireçtaşlarını (Kretase) etkilemesi sonucu oluşan bu zon İlca yöresinde gözlenmektedir. Bu zonda yer alan kayaçlardaki mineral parajenezi Dolomit-Kuvars-Klorit-İllit-Feldispat olarak saptanmıştır.

İlca kaynaklarının yüzey çıkışlarında, boru kenarlarındaki kabuklaşma örneklerinde yapılan incelemeye göre: kabuklaşmayı oluşturan mineralin aragonit ( $\text{CaCO}_3$ ) olduğu saptanmıştır. Oldukça duraysız olan bu mineral, sıcak su kaynakları civarında sabit sıcaklık altında duraylı kalabilmektedir. (Dana, 1956).

Aragonit mineraline ek olarak sıcak su kaynakları civarındaki havuzlarda su yüzeyinde ince jelatin özelliği gösteren mineral ise ternadit ( $\text{NaSO}_4$ ) olarak saptanmıştır. Ortorombik sistemde piramidal olarak bilinen bu mineral genellikle tuzlu ortamlarda oluşmaktadır.

Bunlara ek olarak İlca civarından alınan örneklerde götit, rozanit gibi demirli mineraller saptanmıştır. Bu minerallerden götit minerali inorganik veya biyojenik olarak sulardan direk olarak çökelebilmektedir. Bataklık ve sıcak su kaynakları civarında yaygın olarak depolana bilen bu mineral, demir içeriği kireçtaşları bünyesinde olusabilmektedir. Kayaç içerisindeki sirkülasyon sularının etkisi ile çözeltiye alınan demir iyonları kalsiyumla yer değiştirerek götitin oluşturabilimketedir. Genellikle limonitin alterasyonu sonucu oluşan bu mineralin yanı sıra çözeltideki demir iyonlarının, ortanda bulunan  $\text{SO}_4^{2-}$  iyonları ile birleşmesi sonucu bir hidrotermal sülfat minerali olan rozanit oluşabilmektedir.

Tüm bu minerallere ek olarak ikincil dolomit mineralinin varlığı, yöredeki jeotermal akışkanla çevre kayaçlar arasında çok geniş bir iyon alışverişi olduğunu göstermektedir.

Saptanan bu mineral parajenezlerine göre bu yörede 180-230°C rezervuar sıcaklığına sahip bir jeotermal akış kandan söz edilebilir.

**Eynal ve Naşa Yöresinin Hidrotermal Alterasyon Zonları:** Aktif hidrotermal alterasyonun gözlemediği bu yörede Silisifiye zon ile Montmorillonit zonu saptanmıştır (Şekil 4.).

**Silosifiye Zon:** Kaplıca kaynaklarının çıkışını sağlayan aktif tektonik yapılarından NW-SE yönlü fay boyunca gelişen silisleşme özellikle Eynal civarında gözlenmektedir.

Yöreden alınan örneklerde yapılan jeokimyasal analizlere göre kayaçlardaki  $\text{SiO}_2$  içerikleri % 45.60 ile % 55 arasında olup Kuvars-Kristobalit mineral parajenezine sahiptir.

**Montmorillonit Zonu:** Yörede egemen litoloji olan Naşa Bazaltnın hidrotermal solüsyonlarından etkilenmesi sonucu oluşan bu zon Montmorillonit-Feldispat mineral parajenezine sahiptir.

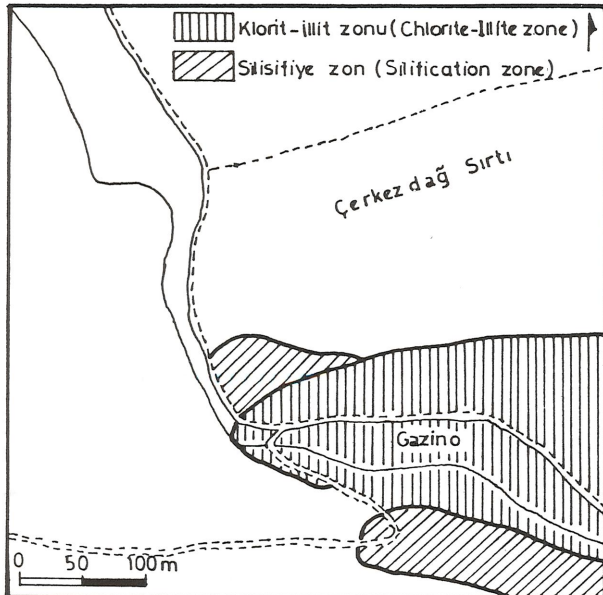
Naşa Bazaltında gözlenen bu zonun karakteristik özelliği, iri boşluklarda ikinci kalsik oluşumlarının göz-

| SİMAV<br>Akdeniz ve Konak<br>1979   | TAVŞANLI<br>Baş, 1983                | SİMAV<br>Yücel v.d<br>1984           |
|-------------------------------------|--------------------------------------|--------------------------------------|
| Alüvyon(Alluvium)                   | Alüvyon(Alluvium)                    | Aluvyon(Alluvium)                    |
| Traverten<br>Travertine             | Traverten<br>Travertine              | Traverten<br>Travertine              |
| Toklar gölü For.<br>Toklar gölü Fm. | Kocayatak For.<br>Kocayatak Fm.      | Toklar gölü For.<br>Toklar gölü Fm.  |
| Emet For.<br>Emet Fm.               | Emet Fm.                             |                                      |
| Hisarcık For.<br>Hisarcık Fm.       | Çokköy Fm.<br>Karaköy Volc.          |                                      |
| Kırılıç Üye<br>Sandy Member         | Saruhanlar Fm.                       |                                      |
| Akdağ Volk.<br>Akdağ Volc.          | Okluk dağı Volk.<br>Okluk dağı Volc. | Akdağ Volk.<br>Akdağ Volc.           |
| Civanadağ tüfl.<br>Civanadağ Tufts. | Civanadağ tüfleri<br>Civanadağ Tufts | Civanadağ tüfleri<br>Civanadağ Tufts |
| Kızılbüük Fm.                       | Tuncbilek Fm.                        | Kızılbüük Fm.                        |
| Taşbaşı For.<br>Taşbaşı Fm.         | Beke For.<br>Beke Fm.                | Taşbaşı For.<br>Taşbaşı Fm.          |
| EOSEN<br>(Eocene)                   | Oğulcaktepe For.<br>Oğulcaktepe Fm.  |                                      |
| Paleosen<br>(Paleocene)             | Eğrigöz Graniti<br>Eğrigöz Granite   | Eğrigöz Graniti<br>Eğrigöz Granite   |
| ÜST<br>(Upper)                      | Dağardı Melanjı<br>Dağardı Melange   | Dağardı Melanjı<br>Dağardı Melange   |
| ALT<br>(Lower)                      | Budağan Kireçtaşı                    | Budağan Kireçtaşı                    |
| JURA<br>(Jurassic)                  | Budağan Limestone                    | Budağan Limestone                    |
| TRİYAR<br>(Triassic)                | Kırkbudak For.<br>Kırkbudak Fm.      | Kırkbudak For.<br>Kırkbudak Fm.      |
|                                     | Arikaya For.<br>Arikaya Fm.          | Arikaya Fm.                          |
|                                     | Sarıcasu For.<br>Sarıcasu Fm.        | Sarıcasu For<br>Sarıcasu Fm.         |
|                                     | Balıkbaşı For.<br>Balıkbaşı Fm.      | Balıkbaşı For.<br>Balıkbaşı Fm.      |
|                                     | Simav Met.<br>Simav Met.             | Simav Met.<br>Simav Met.             |
|                                     | Kalkan For.<br>Kalkan Fm.            | Kalkan For.<br>Kalkan Fm.            |

Şekil 2 : Stratigrafik korelasyon çizelgesi.  
Figure 2 : The table of Stratigraphic correlation.

lenmesidir. Amigdoloidal boşluklu lavlardaki kireçli silikatların (Lime silicates) bozulması ile boşluklara yerleşmesi sonucu gözlenen kalsit oluşumları özellikle montmorillonit zonunda 5 cm'ye varan irilikte gözlenmektedir.

NE-SW yönlü akıntı izleri gösteren bu birimde akma doğrultusuna dik gelişen soğuma çatlaklarında küküt gelişi, NW-SE yönlü tektonik hatta paralel gelişen çatlakların çevresinde ise killeşmeler gözlenmektedir. Eynal Kaplıçası civarında gelişen silisleşmeye paralel



**Şekil 3 : Abide İlicası hidrotermal alterasyon zon haritası.**  
**Figure 3 : Hydrothermal alteration map of Abide İlicası.**

olarak gözlenen korozyona karşı Naşa Kaplıcası civarında tam tersine kabuklaşma yaygın durumda gözlenmektedir.

Saptanan tüm bu verilere göre bu yörede  $100-160^{\circ}\text{C}$  rezervuar sıcaklığına sahip bir jeotermal akışkanın varlığından söz edilebilir.

#### Tavşanlı Yöresinin Hidrotermal Alterasyon Zonları

**Göbel Yoresi Hidrotermal Alterasyon Zonları:** NE-SW yönlü düşey atımlı fay boyunca gelişen bu zon hidrotermal solüsyonların kireçtaşları ile etkileşimi sonucu oluşmuştur. (Şekil 5 a)

**Başköy Yoresi Hidrotermal Alterasyon Zonları:** Güncel tektonizmanın hakim olduğu yörede yer alan Budağan Kireçtaşının altere kesimlerinde gözlenir.

**Montmorillonit-Kaolinit Zonu:** Bu zonun karakteristik minarel parajenezi; Kaolonit-Montmorillonit-az İllit-Kuvars-Kalsit olarak saptanmıştır (Şekil 5 b).

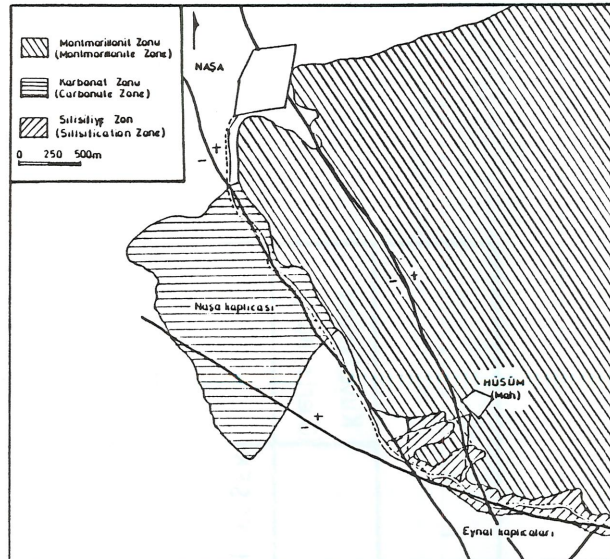
Saptanan bu verilere göre Tavşanlı yoresinde  $100-160^{\circ}\text{C}$  rezervuar sıcaklığına sahip bir jeotermal akışkanın varlığından söz edilebilir.

#### Emet Yoresinin Hidrotermal Alterasyon Zonları

**Dereli Yoresinin Hidrotermal Alterasyon Zonları:** Ofiyolik melanj ve kireçtaşlarının hakim olduğu bu yörede yapılan incelemelere göre klorit zonu gözlenmiştir.

**Klorit Zonu :** Bu zonun karakteristik minarel parajenezi: Klorit-Kalsit-Dolomit-Kuvars-Rozanit-Götit mineral parajenezi saptanmıştır (Şekil 6 a).

Abide İlicasına benzer olarak bu yörede de iyon alış-verişinin yaygın olduğu düşünülmektedir.



**Şekil 4 : Eynal-Naşa yoresinin hidrotermal alterasyon zon haritası.**  
**Figure 4 : Hydrothermal alteration map of Eynal-Naşa region.**

**Aşağı Yoncaağaç Yoresinin Hidrotermal Alterasyon Zonları:** Kireçtaşçı blokları ile tüflerin egemen olduğu yörede yapılan incelemelere göre Kalk Aliminyum Silikat zonu hakimdir.

**Kalk Aliminyum Silikat Zonu:** Bu zonun karakteristik mineral parajenezi: Kalsit-Dolomit-Hölandit mineral parajenezleri saptanmıştır (Şekil 6 b)

Kalk aliminyum silikant minerali olan hölandit genellikle diğer zeolit mineralleri ile kalsitin ilişkisi sonucu oluşmaktadır (Dana, 1956).

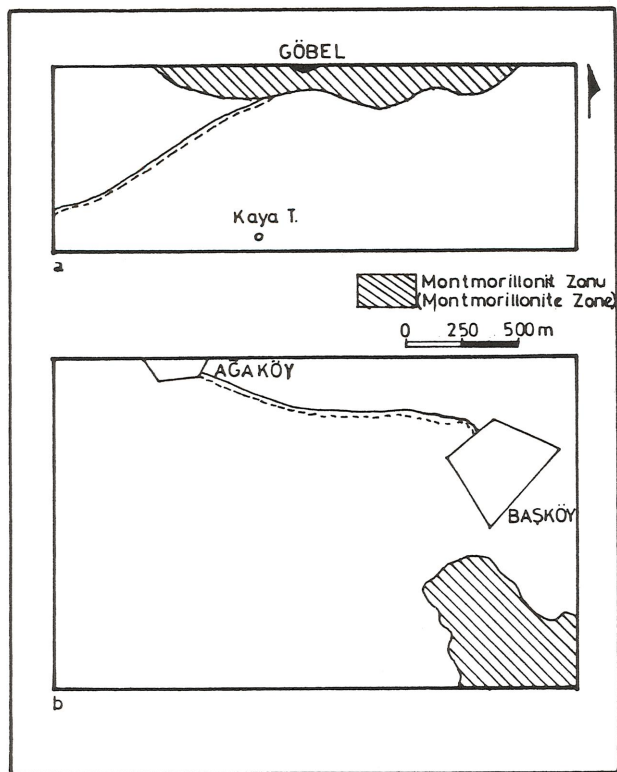
Saptanan bu verilere göre, Emet yoresinde  $150-200^{\circ}\text{C}$  rezervuar sıcaklığına sahip bir jeotermal akışkanın varlığından söz edilebilir.

**Kütahya-İlica Yoresinin Hidrotermal Alterasyon Zonları:** Bu yörede, genç epirogenik hareketlerle oluşmuş fay sistemleri etkin durumdadır. Sahada en önemli kırık ve fay doğrultuları NW-SE dur (Erdoğan, 1971). Bu ana doğrultuları paralel konumlu çatlaklıarda ilis dolguları dikkati çekmektedir. Neojen yaşlı bazaltlarla Kretase yaşı kireçtaşlarının gözlendiği yörede Silisifiye ve Montmorillonit zonları saptanmıştır. (Şekil 7)

**Silisifiye Zon:** Kretase yaşı kireçtaşı ile jeotermal akışkanın etkileşimi sonucu oluşan bu zonda; Kuvars-Kalsit-Dolomit mineral parajenezi saptanmıştır. Yapılan jeokimyasal analizlere göre  $\text{SiO}_2$  içeriği % 5.12 - % 94.95 arasında değişmektedir.

**Montmorillonit Zonu:** Yöredeki bazalt ile diğer birimler arasında gözlenen bu zonda Montmorillonit-Dolomit-Feldispat-Kalsit mineral parajenezi saptanmıştır.

Saptanan bu verilere göre Kütahya-İlica yoresinde  $100-160^{\circ}\text{C}$  rezervuar sıcaklığına sahip bir jeotermal akış-



**Şekil 5 :** Göbel ve Başköy yörenlerinin hidrotermal alterasyon zon haritası (a. Göbel, b. Başköy).  
**Figure 5 :** Hydrothermal alteration map of Göbel and Başköy (a. Göbel, b. Başköy).

kanın varlığından söz edilebilir.

Hidrotermal alterasyon zonlarının dağılımlarına göre Simav yöresinde gözlenen formasyonların durumuna bakacak olursak;

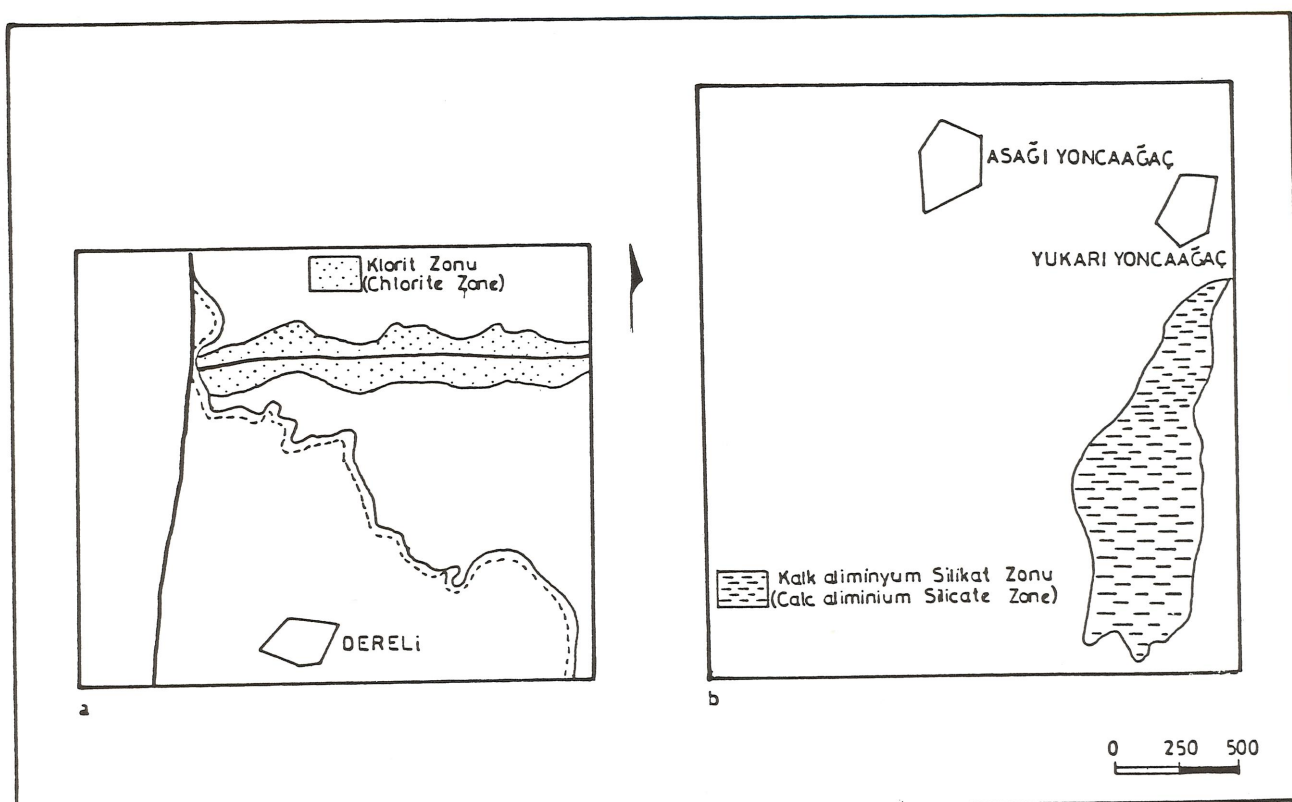
|                         |  |
|-------------------------|--|
| Naşa Bazaltı            | Montmorillonit Zonu                      |
| Taşbaşı Formasyonu      | Montmorillonit Zonu                      |
| Eğrigöz Graniti         | Montmorillonit-Illit Zonu                |
| Abide Silisifiye K.taşı | Montmorillonit Zonu                      |
| Simav Metamorfikleri    | Montmorillonit Zonunda<br>bulunmaktadır. |

Bunlara ek olarak Emet yöresinde Civanadağ Tüfleri Kalk Aliminium Silikat zonunda yer almaktadır.

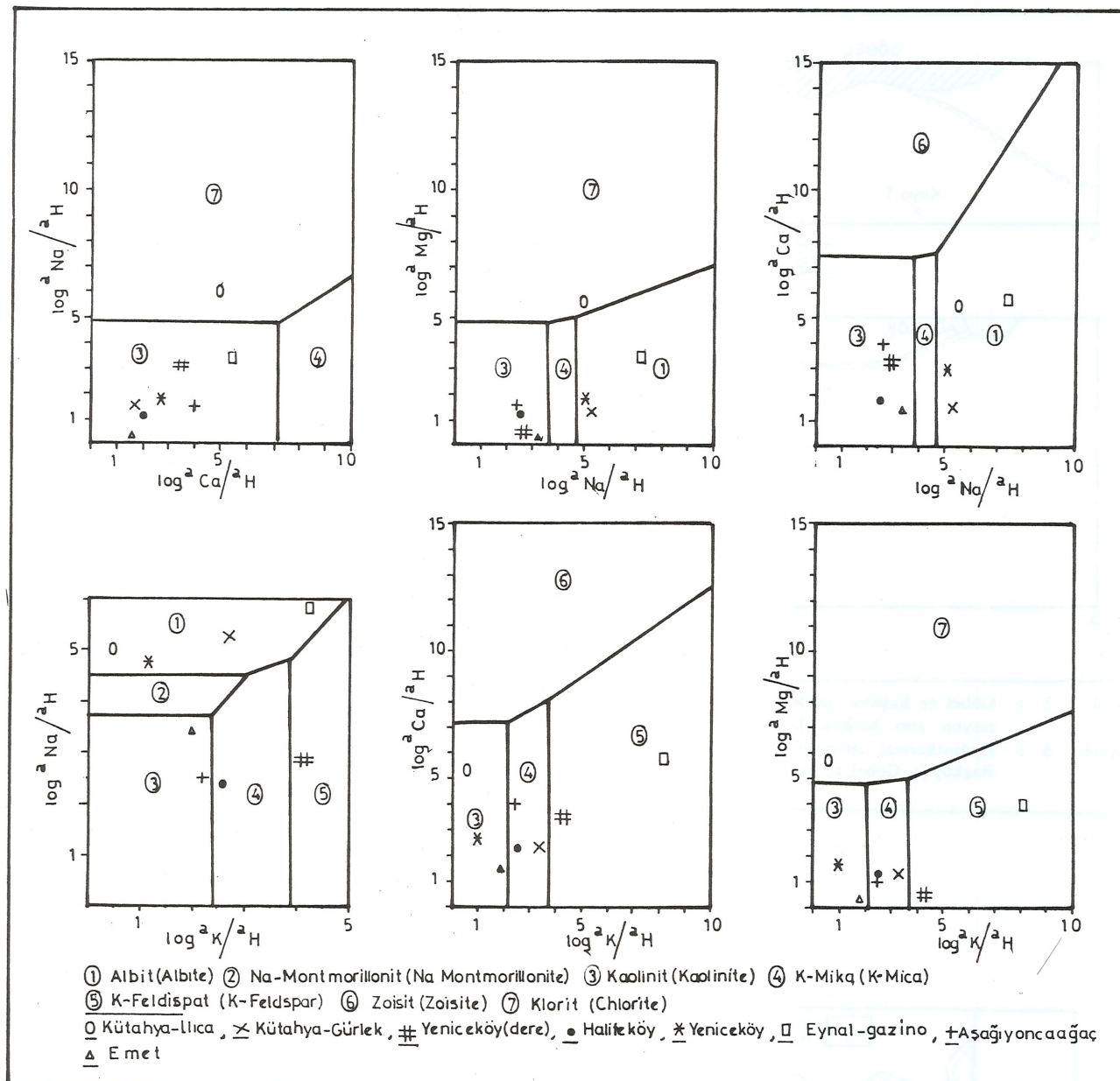
Bu durumda Eğrigöz Graniti ile Akdağ Volkanitlerinin bulunduğu seviyelerde yüksek sıcaklık indikatörü olan mineral parajenezine sahip hidrotermal alterasyon zonları gözlenmektedir.

#### KİMYASAL ANALİZLER

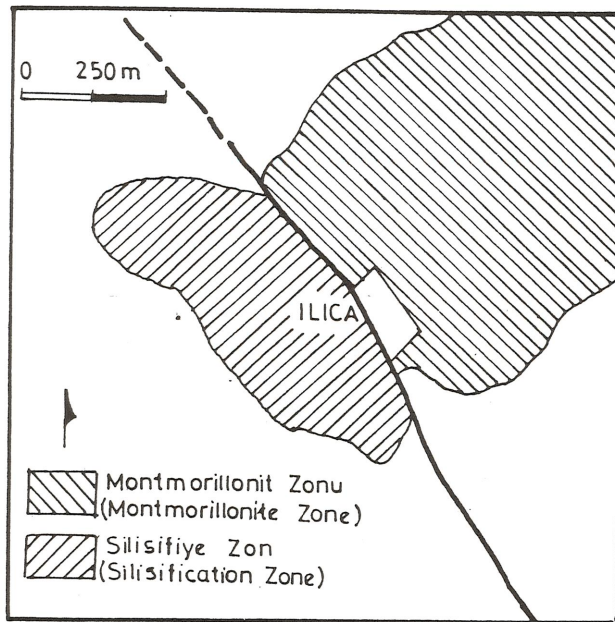
Sahadan 10 adet yüzeyden alınan kayaç örneğinin jeokimyasal analizleri yapılmıştır. Buna ek olarak, çalışma sahası içinde yer alan sıcak su kaynaklarının ve buhar çıkışlarının su kimyası analiz sonuçları kimya mühendisi Nazım Yıldırım'dan alınarak kare diyagramları çizilmiştir.



**Şekil 6 :** Dereli ve Aşağı Yoncaağac yörenlerinin hidrotermal alterasyon zon haritası (a.Dereli, b.A. Yoncaağac).  
**Figure 6 :** Hydrothermal alteration map of Dereli and Aşağı Yoncaağac regions (a.Dereli, b.A. Yoncaağac).



Şekil 8 : Hidrojeokimyasal Kare diyagramları.  
Figure 8 : Square diagram of hydrogeochemicalstrical.



**Şekil 7 : Kütahya-Ilica yörensinin hidrotermal alterasyon zon haritası.**

**Figure 7 : Hydrothermal alteration map of Kütahya-Ilica region.**

#### Jeokimyasal Analizler

Bu aşamada, örneklerin tam analizi yerine  $\text{SiO}_2$  içeriklerine yönelik analizler yapılmıştır. Bölgesel olarak silisleşmenin egemen olması nedeni ile yapılan bu analizler, de  $\text{SiO}_2$  değerleri % 1.66-% 94.95 arasında değişmektedir. Kütahya-Ilica % 94.95'lük  $\text{SiO}_2$  içeriği ile en yüksek silislemeyi gösterir. Bunu sırası ile, Simav-Abide (% 9.5), Simav-Eynal (% 55.07) ve Emet-Aşağı Yoncaağacı (% 20.95) ile izlemektedir (Şener, 1986).

#### Hidro-Jeokimyasal Analizler

Su kimyası analiz sonuçlarına göre; Na, K, H, Ca ve Mg iyonlarının bağıl değerlerinden gidilerek kare diyagramları çizilmiştir.

Şekil 8'de verilen bu diyagramlar göz önünde tutulduğunda; çalışma sahasında güncel aktivitelerini sürdürken kaynakların, altere kayaç mineral parajenezlerindeki minerallerle uygunluk göstermesi diğer çalışmalar destekler durumdadır.

#### SONUÇLAR

Bu çalışmalarda, Kütahya İl sınırları içerisinde yer alan çalışma sahasında; Klorit-İllit-Montmorillonit, Kal-Aliminyum-Silikat ve Silisifiye zonlar saptanmıştır.

Zonların dağılımına göre çalışma sahasında genel olarak  $100-230^{\circ}\text{C}$  rezervuar sıcaklığına sahip bir jeotermal akışkanın varlığını söylebilir.

Sahanın tektonik yapısı N-S, NW-SE yönlü kuvvetlerle gelişmiş olup E-W uzanımlı ana hatlara diyagonal gelişen çatlak ve tali faylanmalar hidrotermal alterasyon için gerekli jeotermal akışkanın ilettilmesinde önemli rol oynamıştır.

Yapılan çalışmalara göre, Eğrigöz Graniti ile Akdağ Volkanitlerinin bulunduğu seviyelerde yüksek sıcaklık indikatörü olan mineral parajenezlerine sahip hidrotermal alterasyon zonları gözlenmektedir.

#### KATKI BELİRLEME

Yazarlar, çalışma olanaklarını sağlayan Dr. M. Fahri Akkuş başta olmak üzere, gerekli kaynakları temin eden Dr. Şakir Şimşek, Şükür Hakyemez, Bilge Erişen ve Nazım Yıldırım ile birlikte emeği geçen kişilere teşekkür ederler.

#### DEĞİNİLEN BELGELER:

- AKDENİZ,N. ve KONAK, N., 1979, Simav-Emet-Tavşanlı-Dursunbey-Demirci yörelerinin jeolojisi' MTA Raporu No: 6547.
- BAŞ, H., 1983, Domaniç-Tavşanlı-Gediz-Kütahya yörelerinin Tersiyer jeolojisi ve volkanitlerin petrolojisi: MTA Raporu No: 7293.
- BİNGÖL, E., 1975, Batı Anadolu'nun jeotektonik evrimi 'MTA Dergisi, No: 86, 14-34.
- BİNGÖL, E., 1977, Muratdağı Jeolojisi ve anakaya birimlerinin petrolojisi : TJK Bül. No: 20 (2), 13-66,
- DANA, EDWARD.J., 1956, Manual of Mineralogy: Hurlbut, Jr. 16 ed. 4 bs. Newyork.
- ERDOĞAN, E., 1971, İlica (Kütahya) kaplıca etüdü' MTA Raporu No: 4681.
- GEVREK, A.İ. ve ŞENER, M., 1985, Çanakkale-Tuzla jeotermal sahasının hidrotermal alterasyon zonları : MTA Raporu Baskıda).
- GEVREK, A.İ., ŞENER, M. ve ERCAN, T., 1985, Çanakkale Tuzla jeotermal sahasının hidrotermal alterasyon zonları ve volkanik kayaçların petrolojisi. MTA Dergisi (Baskıda).
- YÜCEL, B., DEMİRCİ, S ve ÇOKSKUN, B., 1984, Simav yörensinin jeolojisi ve jeotermal enerji olanakları : MTA Raporu (Baskıda).